

гие напряжения. На второй стадии изготовления изделия (образец 3.2) фрагментация охватывает весь объем материала. Объемная доля пластинчатого перлита уменьшается, а глобулярного перлита незначительно увеличивается. Внутренние напряжения во всех морфологических составляющих стали уменьшаются по мере изготовления изделия (рис. 3). Средняя по материалу скалярная плотность дислокаций постепенно уменьшается при переходе от одной стадии изготовления изделия к другой. Время задержки поверхностных акустических волн изменялось по мере изготовления изделия от 75 нс после чернового режима (образец 3.1) до 30 нс после чистовой обработки (образец 3.3).

**Выводы.** Механико-термическое воздействие приводит к изменениям структурно-фазового состояния поверхностных слоев заготовок из стали 35ХГС. Выбран оптимальный режим обработки, при котором на поверхности изделия формируется структурное состояние с минимальным (250 – 300 МПа) уровнем внутренних полей напряжений. Показано наибольшее влияние локальных полей внутренних напряжений, возникающих в стали 35ХГС после механико-термической обработки, на изменение акустических характеристик.

#### БИБЛИОГРАФИЧЕСКИЙ СПИСОК

- Суслов А.Г. – В кн.: Инженерия поверхности. Приложение к журналу «Справочник. Инженерный журнал». – М.: Машиностроение, 2001. № 4. С. 3 – 9.
- Смирнов А.Н., Козлов Э.В. Субструктура, внутренние поля напряжений и проблема разрушений паропроводов из стали 12Х1МФ. – Кемерово: Кузбассвузиздат, 2004. – 163 с.

УДК 669.15

**Д.А. Бессонов<sup>1</sup>, С.В. Воробьев<sup>1</sup>, В.Е. Громов<sup>1</sup>,  
Ю.Ф. Иванов<sup>2</sup>, В.Я. Целлермаер<sup>1</sup>**

<sup>1</sup> Сибирский государственный индустриальный университет

<sup>2</sup> Институт сильноточной электроники СО РАН

#### ЭВОЛЮЦИЯ ЗЕРЕННОЙ СТРУКТУРЫ ПОВЕРХНОСТНОГО СЛОЯ СТАЛИ 20Х13, ПОДВЕРГНУТОЙ ЭЛЕКТРОННО-ПУЧКОВОЙ ОБРАБОТКЕ<sup>1</sup>

Подавляющее большинство промышленных сталей является поликристаллическими материалами, структура которых формируется в материале при различных способах обработки и существенно влияет на его свойства. Важнейшими параметрами зеренной структуры являются средний размер зерна, степень совершенства зерен, характер и степень разнозернистости

материала, наличие и характер текстуры, степень неравноосности зерен [1, 2]. В области температур, при которых большеугловые границы приобретают способность к перемещению, в поликристаллических материалах протекают рекристаллизационные структурные изменения, которые приводят к замене одних зерен другими, обладающими меньшей энергией [1, 2].

Одним из эффективных методов воздействия на зеренную структуру материалов является обработка интенсивными импульсно-периодическими электронными пучками, преимуществом которой состоит в сочетании полного поглощения энергии электронов и объемного характера

<sup>1</sup> Работа выполнена при частичной финансовой поддержке ФЦП «Научные и научно-педагогические кадры инновационной России на 2009 – 2013 гг.» (гос. контракт № 02.740.11.0538) и гранта президиума РАН (проект № 27.4).

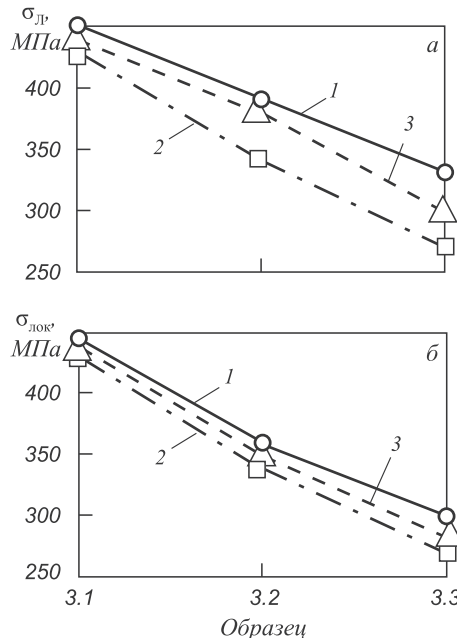


Рис. 3. Изменение амплитуды внутренних напряжений за счет дислокаций «леса» (а) и локальных внутренних напряжений (б) в стали 35ХГС на различных этапах изготовления изделия:  
1 – в перлите; 2 – в феррите; 3 – среднем по материалу

- Градиентные структуры в перлитной стали / Э.В. Козлов, В.Е. Громов, В.В. Коваленко и др. – Новокузнецк: изд. СибГИУ, 2004. – 224 с.

© 2012 г. А.С. Глинка, А.Н. Смирнов, Э.В. Козлов,  
Н.А. Конева, С.А. Рябов  
Поступила 19 апреля 2011 г.

ее выделения с возможностью весьма широкого варьирования глубины проникновения электронов в материал. Такие пучки являются уникальным и высокоэффективным инструментом как для исследований физической природы формирования структурно-фазовых состояний в твердом теле, так и для целенаправленной модификации структуры и свойств материалов с целью улучшения эксплуатационных характеристик изделий [3–5].

Так, электронно-пучковая обработка (ЭПО) с плотностью энергии 15 Дж/см<sup>2</sup> увеличивает усталостную долговечность стали 08Х18Н10Т в 1,5 раза [6], а с плотностью энергии 10 Дж/см<sup>2</sup> стали 20Х13 – в 1,4 раза [7]. Для выяснения физической природы повышения усталостного ресурса сталей необходимо знание закономерностей формирования структурно-фазовых состояний при ЭПО.

Целью настоящей работы является изучение закономерностей эволюции зеренной структуры поверхности слоя нержавеющей стали, подвергнутой высокointенсивной обработке электронным пучком.

В качестве материала исследования использовали сталь марки 20Х13 [8]. Термическая обработка стали состояла в отжиге при температуре 980 °С в течение 3 ч и последующей закалке в воде. Электронно-пучковую обработку осуществляли на установке «СОЛО» [9]. Параметры облучения: длительность τ импульса воздействия пучка электронов 50 мкс; количество и частота следования импульсов облучения  $N = 3$  имп. и  $f = 0,3$  Гц; плотность энергии пучка электронов ( $E_S$ )

составляла 10, 15, 20, 25, 30 Дж/см<sup>2</sup>, среда облучения – инертный газ аргон при остаточном давлении приблизительно 0,02 Па. Облучаемые образцы имели форму пластинок толщиной 5 мм размерами 8×14 мм. Исследования поверхности электронно-пучковой обработки стали осуществляли методами металлографии травленого шлифа (микроскоп OLYMPUS GX71, оснащенный цифровой камерой DP70 с программным обеспечением Image Scope M), сканирующей (микроскоп SEM-515 «Philips») и просвечивающей (микроскоп ЭМ-125) электронной микроскопии.

В исходном состоянии исследуемая сталь – поликристаллический агрегат, в объеме зерен которого в результате закалки сформирована мартенситная структура. Зерна имели неравноосную форму, что вызвано предварительной термомеханической обработкой стали. Средние продольные ( $L$ ) и поперечные ( $D$ ) размеры зерен составляли 19,8 мкм ( $\sigma = \pm 8,0$  мкм) и 12,4 мкм ( $\sigma = \pm 5,0$  мкм) соответственно. По границам зерен наблюдаются частицы второй фазы, которые являются, предположительно, карбидами железа и хрома.

После обработки стали при плотности энергии пучка электронов 10 Дж/см<sup>2</sup> (соответствует режиму начального плавления [10], частично исчезают дефекты (царапины), внесенные при полировке) на поверхности стали формируется слой, характеризующийся ультрамальным размером зерен: средние продольные и поперечные размеры составляют 3,6 мкм ( $\sigma = \pm 1,4$  мкм) и 2,2 мкм ( $\sigma = \pm 0,93$  мкм) соответственно (рис. 1, *a*, *б*).

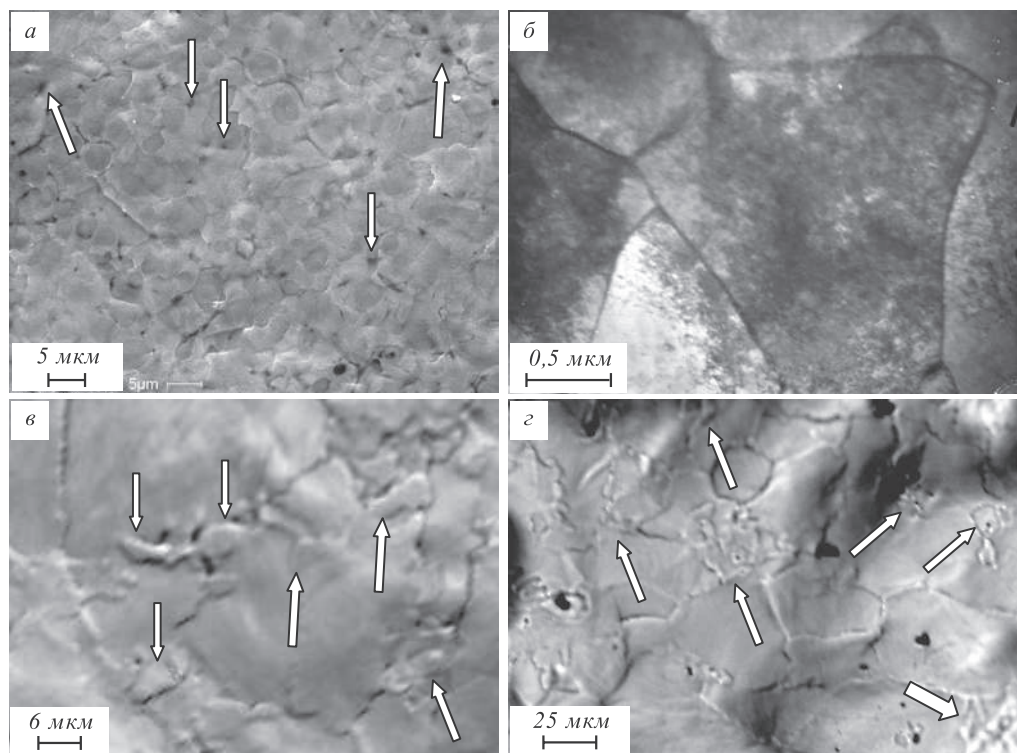


Рис. 1. Структура поверхности стали 20Х13, обработанной высокointенсивным электронным пучком при плотности энергии пучка электронов 10 Дж/см<sup>2</sup> (*а*, *б*), 15 Дж/см<sup>2</sup> (*в*) и 25 Дж/см<sup>2</sup> (*г*) (изображения получены методами сканирующей (*а*), просвечивающей (*б*) электронной и оптической (*в*, *г*) микроскопии)

Особенностью формирующейся структуры является присутствие по границам зерен большого количества частиц второй фазы (на рис. 1, *a* частицы указаны стрелками).

Электронно-пучковая обработка поверхности стали при плотности энергии пучка электронов более  $15 \text{ Дж}/\text{см}^2$  соответствует режиму плавления поверхностного слоя. В результате высокоскоростной кристаллизации и последующего охлаждения в поверхностном слое стали формируется зеренная структура двух масштабных уровней: зерна, размеры которых изменяются в пре-

делах  $15 - 150 \text{ мкм}$ ; зерна, размеры которых изменяются в пределах десятых долей – единиц микрометра (рис. 1, *в*, *г*). Зерна второго масштабного уровня при обработке стали электронным пучком с плотностью энергии  $15 - 25 \text{ Дж}/\text{см}^2$  располагаются по границам и в стыках границ крупных зерен. С увеличением плотности энергии пучка электронов объемная доля поверхности стали, занятая зернами второго масштабного уровня, увеличивается и при  $E_s \geq 30 \text{ Дж}/\text{см}^2$  достигает  $95 - 100 \%$ . Гистограммы распределения продольных и поперечных размеров зерен представлены на рис. 2.

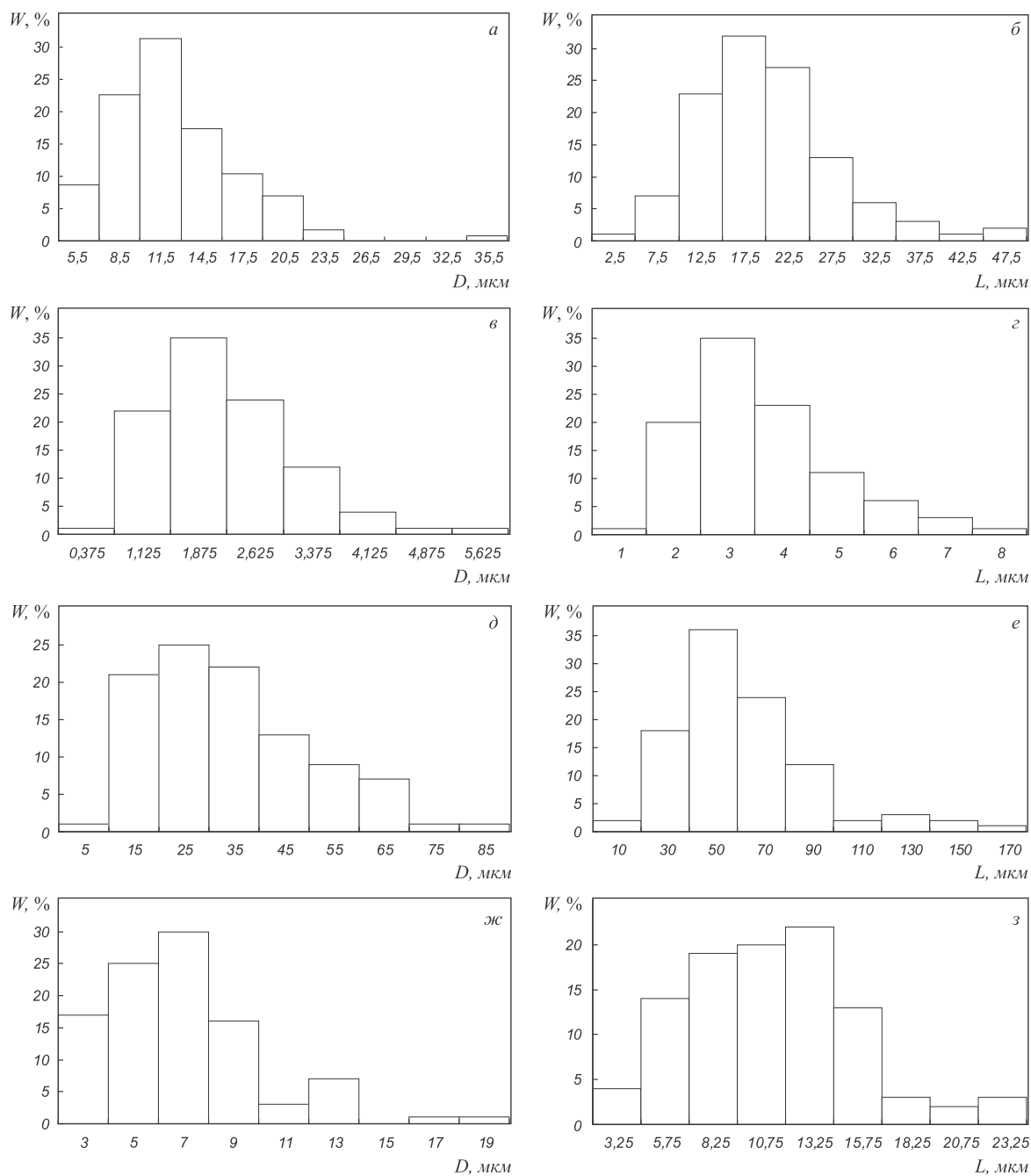


Рис. 2. Распределение поперечных и продольных размеров зерен стали 20Х13 до облучения (*а*, *б*) и зерен, формирующихся в поверхностном слое образцов, обработанных высокointенсивным электронным пучком субмиллисекундной длительности воздействия с плотностью энергии пучка электронов  $10 \text{ Дж}/\text{см}^2$  (*в*, *г*) и  $25 \text{ Дж}/\text{см}^2$  (*д*, *е*) (зерна первого масштабного уровня),  $25 \text{ Дж}/\text{см}^2$  (*ж*, *з*) (зерна второго масштабного уровня)

Изменение средних размеров зерен, учитывающее зерна обоих масштабных уровней, приведено на рис. 3, изменение средних размеров зерен второго масштабного уровня – на рис. 4.

Отчетливо видно, что средние размеры зерен существенным образом зависят от плотности энергии пучка электронов: структура с максимальным средним значением размеров зерен формируется в поверхностном слое стали, облученной электронным пучком с плотностью энергии пучка электронов 25 Дж/см<sup>2</sup>. Мелкозеренная структура поверхностного слоя стали формируется при двух режимах электронно-пучковой обработки: при обработке электронным пучком в предплавильном режиме ( $E_S = 10$  Дж/см<sup>2</sup>) и в режиме плавления поверхностного слоя, соответствующем толщине расплавленного слоя приблизительно 10 мкм. Следует отметить, что продольные и поперечные размеры зерен обоих масштабных уровней изменяются с увеличением плотности энергии пучка электронов коррелированным образом (рис. 3, б; рис. 4, б).

При анализе полученных в настоящей работе результатов необходимо учитывать, что в сталях фер-

ритного класса рекристаллизация сопровождается полиморфными превращениями. В этом случае процесс разбивается условно на две стадии: 1 – зарождение и рост кристаллитов (зерен) новой фазы до их столкновения; 2 – рост одних зерен (кристаллитов) новой фазы путем поглощения других зерен этой же фазы (так называемая стадия собирательной рекристаллизации [1]). Первая стадия представляет собой фазовую перекристаллизацию, вторая – структурную рекристаллизацию.

В случаях, когда полиморфное превращение сопровождается значительным объемным эффектом вследствие разницы в удельных объемах старой и новой фаз (в стали такая ситуация реализуется при исходной мартенситной структуре), исходная и вновь образующаяся фазы испытывают фазовый наклеп. Такой наклеп часто приводит к тому, что после завершения фазовой перекристаллизации в материале протекает первичная рекристаллизация, которая, по своей сути, является динамической рекристаллизацией (т.е. процессом преобразования зернистой структуры материала, при котором деформация и термическое воздействие совмещены

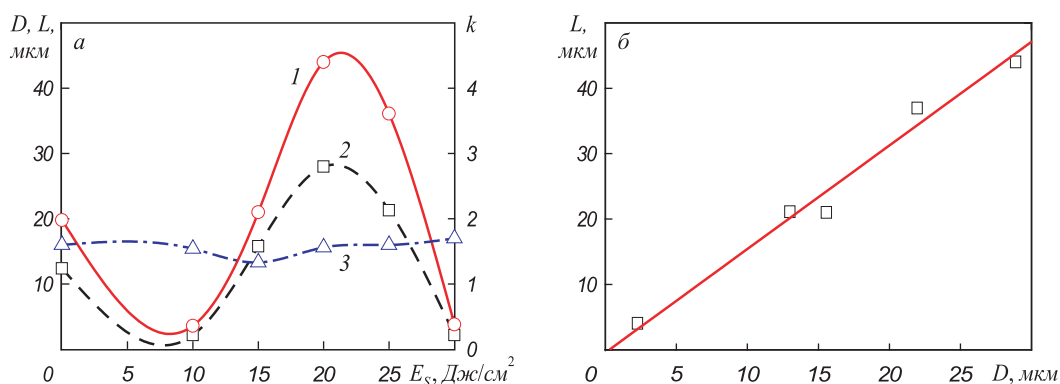


Рис. 3. Зависимости (а) средних продольных (—), поперечных (---) размеров зерен и коэффициента  $k$  неравнотоносности (—·—·—) зерен от плотности энергии пучка электронов и линейная корреляция (б), связывающая средние продольные и поперечные размеры зерен

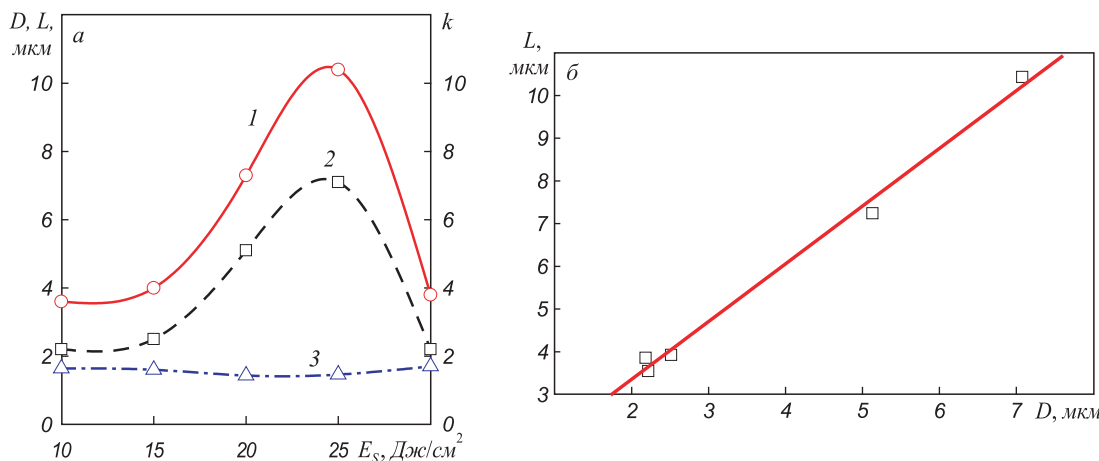


Рис. 4. Зависимости (а) средних продольных (—), поперечных (---) размеров зерен второго масштабного уровня и коэффициента  $k$  неравнотоносности (—·—·—) зерен от плотности энергии пучка электронов и линейная корреляция (б), связывающая средние продольные и поперечные размеры зерен

во времени). Схематически этот процесс представлен (соответственно работе [11]) на рис. 5. Согласно схеме зеренная структура, формирующаяся в поверхностном слое стали в результате электронно-пучковой обработки при плотности энергии пучка электронов приблизительно  $10 \text{ Дж}/\text{см}^2$ , является продуктом высокоскоростной динамической рекристаллизации.

При обработке стали электронным пучком с плотностью энергии пучка электронов более  $15 \text{ Дж}/\text{см}^2$  наблюдается плавление поверхностного слоя, зеренная структура поверхностного слоя формируется в результате кристаллизации и последующего высокоскоростного охлаждения стали. При малой толщине расплавленного слоя (при  $E_s = 15 \div 25 \text{ Дж}/\text{см}^2$ ) формируется структура, наследующая зеренную структуру исходного состояния стали. Вновь сформировать ультрамелкозернистую структуру в поверхностном слое стали удается при толщине расплавленного слоя  $8 \div 10 \text{ мкм}$  (при  $E_s \approx 30 \text{ Дж}/\text{см}^2$ ).

**Выводы.** Осуществлена высокointенсивная импульсная электронно-пучковая обработка поверхности предварительно закаленной стали 20Х13. Выполнены исследования зеренной структуры, формирующейся в поверхностном слое стали. Выявлены режимы электронно-пучковой обработки, позволяющие формировать в поверхностном слое стали структуру с малым размером зерен.

#### БИБЛИОГРАФИЧЕСКИЙ СПИСОК

1. Горелик С.С. Рекристаллизация металлов и сплавов. – М.: Металлургия, 1978. – 568 с.
2. Рекристаллизация металлических материалов / Под ред. Ф. Хеснера. – М.: Металлургия, 1982. – 352 с.
3. Горбунов С.В., Иванов Ю.Ф., Воробьев С.В. и др. // Изв. вуз. Черная металлургия. 2011. № 2. С. 33 – 35.
4. Громов В.Е., Горбунов С.В., Иванов Ю.Ф. и др. // Поверхность. 2011. № 10. С. 41 – 44.
5. Коваль Н.Н., Иванов Ю.Ф. // Изв. вуз. Физика. 2008. № 5. С. 60 – 70.
6. Иванов Ю.Ф., Горбунов С.В., Воробьев С.В. и др. // Физическая мезомеханика. 2011. Т. 14. № 1. С. 75 – 83.
7. Бессонов Д.А., Воробьев С.В., Коновалов С.В. // Изв. вуз. Черная металлургия. 2011. № 10. С. 48, 49.
8. Марочник сталей и сплавов / Под ред. В.Г. Сорокина. – М.: Машиностроение, 1989. – 640 с.
9. Иванов Ю.Ф., Коваль Н.Н. – В кн.: Структура и свойства перспективных металлических материалов / Под общ. ред. А.И. Потекаева. – Томск: Изд-во НТЛ, 2007. С. 345 – 382.
10. Rotstein V., Ivanov Yu., Margov A. Materials surface processing by directed energy techniques. Ed. by Y. Pauleau: Elsevier, 2006. P. 205 – 240.
11. Гуляев А.П. Металловедение. – М.: Металлургия, 1978. – 647 с.

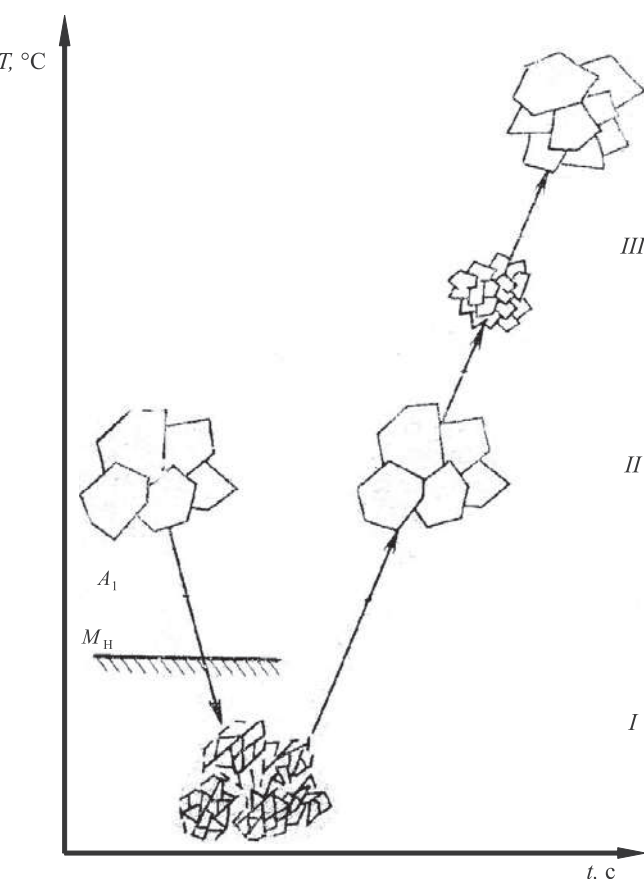


Рис. 5. Последовательность протекания процесса образования аустенита в условиях фазового наклепа [11]:  
I – мартенситная область; II и III – аустенитные области  
(II – область фазовой перекристаллизации; III – область первичной рекристаллизации в условиях фазового наклепа)

© 2012 г. Д.А. Бессонов, С.В. Воробьев, В.Е. Громов,  
Ю.Ф. Иванов, В.Я. Целлермаер  
Поступила 27 апреля 2011 г.